

УДК 531.38

## СВОБОДНОЕ ДВИЖЕНИЕ ШАРНИРНОЙ СВЯЗКИ ДВУХ ТЕЛ

МОХАМЕД Э. А., СМОЛЬНИКОВ Б. А.

Рассматриваются две задачи о плоском движении составного тела, представляющего собой связку двух твердых тел, соединенных идеальным цилиндрическим шарниром. Предполагается, что ось шарнира параллельна главным осям инерции обоих тел, а их центры масс движутся в общей плоскости, перпендикулярной оси шарнира. В первой задаче составное тело не испытывает внешних воздействий и совершает свободное движение по инерции вокруг своего центра масс, аналогичное тому, какое совершает составной спутник в космическом пространстве. Дополнительно предполагается, что режим такого движения обладает устойчивостью.

Во второй задаче одно из тел прикреплено посредством дополнительного цилиндрического шарнира, параллельного первому, к неподвижному основанию, образуя шарнирный двухзвеной, имитирующий движение по инерции двухзвеного манипулятора в горизонтальной плоскости.

В обеих задачах уравнения движений и их интегралы имеют идентичную структуру, что позволяет ограничиться изучением их общей математической модели. Строится система интегралов и изучается качественный характер движения составного тела в зависимости от его собственных параметров и начальных условий. Дается классификация возможных режимов движения и строятся отвечающие им границы в пространстве параметров.

**1. Исходные соотношения.** Рассмотрим модель составного тела в виде шарнирной связки двух твердых тел 1 и 2, совершающих плоское движение по инерции вокруг их общего центра масс предполагаемого неподвижным (фиг. 1). Помещая в эту точку начало неподвижных осей  $\xi\eta$ , зададим текущее положение центров масс первого и второго тела радиусами-векторами  $\mathbf{r}_1$  и  $\mathbf{r}_2$  соответственно. По отношению к шарниру положения этих центров масс зададим векторами  $\mathbf{l}_1$  и  $\mathbf{l}_2$ , так что

$$\mathbf{r}_1 - \mathbf{l}_1 = \mathbf{r}_2 - \mathbf{l}_2 \quad (1.1)$$

Обозначая  $m_1$  и  $m_2$  массы, а  $I_1$  и  $I_2$  — центральные моменты инерции тела, имеем

$$m_1 \mathbf{r}_1 + m_2 \mathbf{r}_2 = 0 \quad (1.2)$$

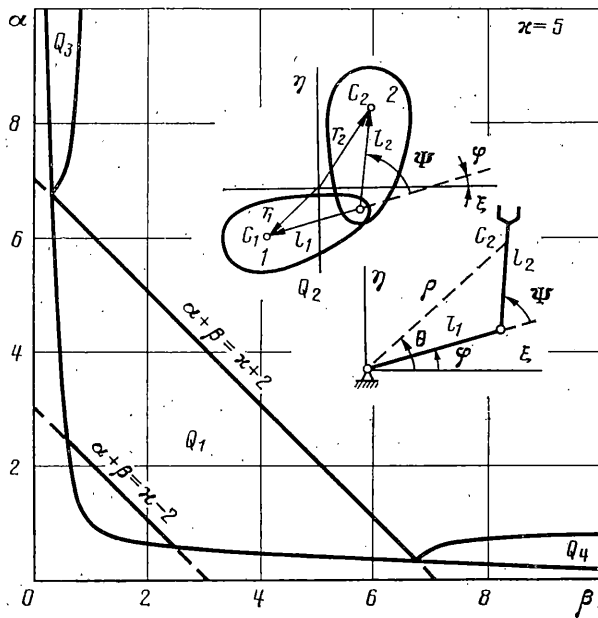
Из (1.1) и (1.2) находим

$$\mathbf{r}_1 = (\mathbf{l}_1 - \mathbf{l}_2) m_2 / (m_1 + m_2), \quad \mathbf{r}_2 = (\mathbf{l}_2 - \mathbf{l}_1) m_1 / (m_1 + m_2) \quad (1.3)$$

В качестве обобщенных координат, определяющих конфигурацию составного тела, примем угол  $\varphi$ , задающий абсолютную ориентацию первого тела, и угол  $\psi$ , задающий относительную ориентацию второго тела (фиг. 1). Тогда абсолютные угловые скорости тел соответственно будут  $\omega_1 = \dot{\varphi}$ ,  $\omega_2 = \dot{\varphi} + \dot{\psi}$ , а кинетическая энергия  $T$  составного тела примет вид  $2T = m_1 |\dot{\mathbf{r}}_1|^2 + m_2 |\dot{\mathbf{r}}_2|^2 + I_1 \omega_1^2 + I_2 \omega_2^2$ . Заменяя здесь  $|\dot{\mathbf{r}}_1|^2$  и  $|\dot{\mathbf{r}}_2|^2$  их выражениями, согласно (1.3), и учитывая, что  $|\dot{\mathbf{l}}_1|^2 = |\omega_1 \times \mathbf{l}_1|^2 = l_1^2 \dot{\varphi}^2$ ,  $|\dot{\mathbf{l}}_2|^2 = |\omega_2 \times \mathbf{l}_2|^2 = l_2^2 (\dot{\varphi} + \dot{\psi})^2$ ,  $\dot{\mathbf{l}}_1 \cdot \dot{\mathbf{l}}_2 = l_1 l_2 \dot{\varphi} (\dot{\varphi} + \dot{\psi}) \cos \psi$ , получим

$$2T = \varphi^2 [m(l_1^2 + l_2^2) + I_1 + I_2 + 2ml_1 l_2 \cos \psi] + 2\dot{\varphi} \dot{\psi} [I_2 + m(l_2^2 + l_1 l_2 \cos \psi)] + \dot{\psi}^2 (I_2 + ml_2^2), \quad m = m_1 m_2 / (m_1 + m_2) \quad (1.4)$$

Рассматриваемое составное тело обладает двумя степенями свободы во вращательном движении, и для него существуют классические интегралы энергии  $T = \text{const}$  и углового момента  $L = \partial T / \partial \dot{\varphi} = \text{const}$ .



Фиг. 1

Введем безразмерные параметры составного тела

$$\alpha = (I_1 + ml_1^2) / (ml_1 l_2), \quad \beta = (I_2 + ml_2^2) / (ml_1 l_2)$$

$$\kappa = L^2 / (2Tml_1 l_2), \quad d\tau = [2T / (ml_1 l_2)]^{1/2} dt$$

Видно, что  $\alpha$  и  $\beta$  характеризуют инерционность первого и второго тел, т. е. являются собственными параметрами составного тела, тогда как  $\kappa$  зависит от начального значения углового момента  $L$ . В дальнейшем дифференцирование по безразмерному времени  $\tau$  будет обозначаться штрихом. Интегралы задачи примут теперь следующий вид:

$$(\alpha + \beta + 2 \cos \psi) \dot{\varphi}'^2 + 2(\beta + \cos \psi) \dot{\varphi}' \dot{\psi}' + \beta \dot{\psi}'^2 = 1$$

$$(\alpha + \beta + 2 \cos \psi) \dot{\varphi}'^2 + (\beta + \cos \psi) \dot{\psi}' = \sqrt{\kappa} \quad (1.5)$$

причем требование положительной определенности  $T$  приводит к ограничениям

$$\alpha\beta > 1, \quad \alpha + \beta > 2 \quad (1.6)$$

из которых первое перекрывает второе.

Можно убедиться, что и для шарнирного двухзвенника, показанного на фиг. 1, интегралы энергии и момента также будут иметь вид (1.5). Действительно, если  $I_1$  и  $I_2$  есть моменты инерции первого и второго звеньев по отношению к первому (неподвижному) и второму (подвижному) шарниру,  $l_1$  — длина первого звена, а  $l_2$  — расстояние от центра масс второго звена до подвижного шарнира, то кинетическая энергия двухзвенника запишется в виде

$$2T = \dot{\varphi}'^2 (I_1 + ml_1^2 + I_2 + 2ml_1 l_2 \cos \psi) + 2\dot{\varphi}' \dot{\psi}' (I_2 + ml_1 l_2 \cos \psi) + \dot{\psi}'^2 I_2 \quad (1.7)$$

где  $m$  — масса второго звена. С точностью до обозначений постоянных параметров это выражение идентично соответствующему выражению (1.4) первой задачи. Поэтому далее будем для определенности рассматривать задачу о двухзвеннике, трактуя первое и второе тела как соответствующие звенья шарнирного двухзвенника.

**2. Анализ движений второго звена.** Разрешая систему (1.5) относительно  $\dot{\psi}'$  и  $\dot{\varphi}'$ , придем к выражениям

$$\dot{\psi}' = (\alpha + \beta + 2 \cos \psi - \kappa)^{1/2} (\alpha\beta - \cos^2 \psi)^{-1/2} \quad (2.1)$$

$$\varphi' = \{ [\kappa(\alpha\beta - \cos^2 \psi)]^{1/2} - (\beta + \cos \psi)(\alpha + \beta + 2 \cos \psi - \kappa)^{1/2} \} [(\alpha + \beta + 2 \cos \psi)(\alpha\beta - \cos^2 \psi)^{1/2}]^{-1} \quad (2.2)$$

которые определяют характер движения звеньев в зависимости от соотношения параметров  $\alpha$ ,  $\beta$ ,  $\kappa$ . Из (1.6) следует, что при малых значениях  $\kappa$ , когда

$$0 \leq \kappa < \alpha + \beta - 2 \quad (2.3)$$

подкоренное выражение в (2.1) ни при каких  $\psi$  не меняет своего знака, т. е. движение по углу  $\psi$  является круговращательным. При этом угловая скорость  $\psi'$  достигает своего максимального значения  $\psi'_{\max}$  в точке  $\psi = 0$ , когда оба звена вытянуты вдоль одной прямой  $\psi'_{\max} = [(\alpha + \beta + 2 - \kappa) / (\alpha\beta - 1)]^{1/2}$ . Минимальное значение  $\psi'_{\min}$  достигается либо в точке  $2 \cos \psi = \kappa - \alpha - \beta + [(\alpha + \beta - \kappa)^2 - 4\alpha\beta]^{1/2}$ , если выполнено условие

$$0 < \kappa < (\alpha - 1)(1 - \beta) \quad (2.4)$$

или в точке  $\psi = \pm\pi$ , если оно не выполнено. В случае (2.4) имеем

$$\psi'_{\min} = \{ \alpha + \beta - \kappa + [(\alpha + \beta - \kappa)^2 - 4\alpha\beta]^{1/2} \} / (2\alpha\beta)$$

Рассмотрим теперь характер движения второго звена при достаточно больших значениях углового момента, когда  $\kappa > 4$ , так что становится возможным выполнение условия

$$\alpha + \beta - 2 < \kappa < \alpha + \beta + 2 \quad (2.5)$$

В этом случае второе звено колеблется около значения  $\psi = 0$  с амплитудой  $|\psi_*|$ , определяемой выражением

$$2 \cos \psi_* = \kappa - \alpha - \beta \quad (2.6)$$

и периодом по  $\tau$ , равным

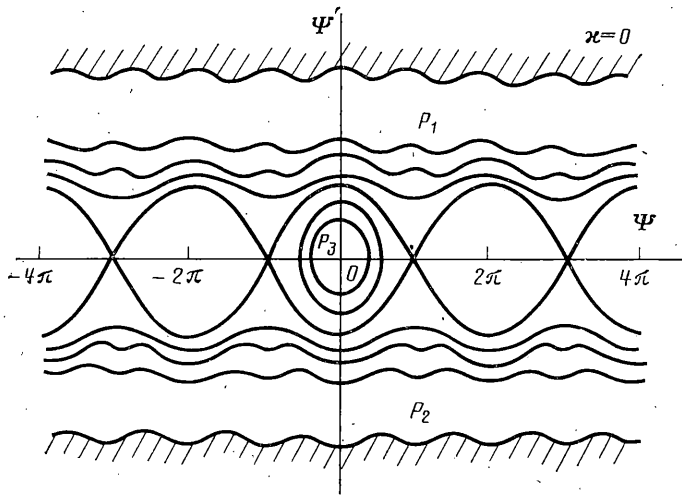
$$\tau_0 = 4 \int_0^{\psi_*} [(\alpha\beta - \cos^2 \psi) / (\alpha + \beta + 2 \cos \psi - \kappa)]^{1/2} d\psi$$

На плоскости параметров  $\alpha$ ,  $\beta$  (фиг. 1) области существования рассмотренных режимов ограничиваются дугами гиперболы  $\alpha\beta = 1$  и прямыми  $\alpha + \beta = \kappa \pm 2$ . При этом колебания второго звена имеют место в полосе между этими прямыми (область  $Q_1$ ), а его круговращение — в области  $Q_2 + Q_3 + Q_4$ , где подобласти  $Q_2$  отвечает наличие двух экстремумов угловой скорости  $\psi'(\psi)$  (в точках  $\psi = 0$  и  $\psi = \pm\pi$ ), а подобластям  $Q_3$  и  $Q_4$ , определяемым неравенством (2.4), — наличие четырех экстремумов  $\psi'(\psi)$ .

Таким образом, в зависимости от величины начального углового момента движение второго звена по отношению к первому может иметь как колебательный (либрационный), так и круговращательный (ротационный) характер аналогично движению математического маятника. Аналогия с маятником обнаруживается и в структуре траекторий на фазовой плоскости (фиг. 2), описываемых уравнением (2.1). Отличие состоит лишь в том, что ширина потока фазовых траекторий здесь ограничена предельными траекториями  $\kappa = 0$ , и, кроме того, если выполнено условие (2.4), зависимость  $\psi'(\psi)$  имеет локальные максимумы при  $\psi = \pm\pi$ . Значению  $\kappa = \alpha + \beta - 2$  отвечает сепаратрисса, отделяющая колебательные и круговращательные движения, а значению  $\kappa = \alpha + \beta + 2$  — положение относительного покоя второго звена.

**3. Анализ движения первого звена.** После того как найдено движение второго звена, т. е. установлена зависимость  $\psi(\tau)$ , движение первого звена определяется квадратурой, вытекающей из соотношения (2.2). Ликвидируя иррациональность в числителе выражения (2.2) и обозначая  $\cos \psi = u$ , получаем

$$\varphi' = [\beta(\kappa - \beta) - 2\beta u - u^2] \{ (\alpha\beta - u^2) \kappa^{1/2} + (\beta + u) [(\alpha\beta - u^2)(\alpha + \beta + 2u - \kappa)]^{1/2} \}^{-1} \quad (3.1)$$



Фиг. 2

Для определенности будем считать  $L \geq 0$ . Знак перед вторым корнем знаменателя определяется, очевидно, знаком  $\psi'$ .

Будем различать три типа движения второго звена: круговращение  $\psi' > 0$  (область  $P_1$  на фиг. 2), круговращение  $\psi' < 0$  (область  $P_2$  на фиг. 2); колебания  $\psi' \geq 0$  (область  $P_3$  на фиг. 2).

В случае первого типа движения знаменатель выражения (3.1) всегда положителен, так что знак  $\psi'$  определяется знаком числителя, т. е. знаком полинома  $f(u) = -u^2 - 2\beta u + \beta(\kappa - \beta)$ . Расположение корней  $u_1, u_2$  этого полинома определяет качественный характер изменения угла  $\varphi$ . Находя корни

$$u_1 = -\beta - (\kappa\beta)^{1/2}, \quad u_2 = -\beta + (\kappa\beta)^{1/2} \quad (3.2)$$

закключаем, что в этом случае, когда  $-1 \leq u \leq 1$ , угол  $\varphi$  монотонно растет ( $\psi' > 0$ ) при условии, что  $u_2 \geq 1$ , т. е. если  $\kappa \geq (\beta + 1)^2 / \beta$ . Это условие, согласно (2.3), выполнимо только для тех двухзвенников, у которых  $\beta > (\alpha - 4)^{-1}$ ,  $\alpha > 4$ .

Монотонное вращение первого звена в обратном направлении ( $\psi' < 0$ ) будет происходить при  $u_2 \leq -1$ , т. е. при  $\beta > 1$ ,  $\kappa \leq (\beta - 1)^2 / \beta$ . В промежуточном диапазоне значений  $(\beta - 1)^2 / \beta < \kappa < (\beta + 1)^2 / \beta$  возникают реверсивные режимы движения первого звена, причем если в диапазон  $-1 \leq u \leq 1$  попадает лишь один корень  $u_2$ , то за время одного полного оборота второго звена первое звено меняет знак своей угловой скорости дважды, если же оба корня — то четыре раза. Последнее возможно лишь при условиях  $\beta < 1$ ,  $\kappa \leq (1 - \beta)^2 / \beta$ .

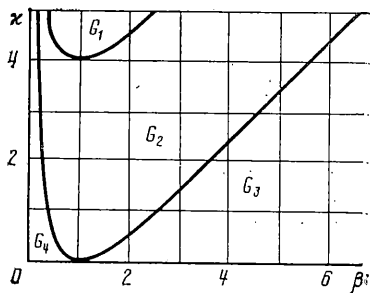
Видно, что на плоскости  $\beta, \kappa$  (фиг. 3) условию прямого вращения отвечает область  $G_1$ , а обратному вращению — область  $G_3$ . Реверсивным режимам с двумя и четырьмя реверсами отвечают соответственно области  $G_2$  и  $G_4$ .

Обращаясь теперь ко второму типу движения, где второе звено совершает обратное круговращение, т. е.  $\psi' < 0$ , запишем выражение для  $\psi'$  в виде

$$\psi' = \{\kappa^{1/2} + (\beta + u) [(\alpha + \beta + 2u - \kappa) / (\alpha\beta - u^2)]^{1/2}\} / (\alpha + \beta + 2u) \quad (3.3)$$

Отсюда следует, что немонотонные режимы движения по углу  $\varphi$  могут возникать лишь при  $\beta < 1$ , когда  $u_1 > -1$ , что приводит к неравенствам  $\beta < 1$ ,  $\kappa \leq (1 - \beta)^2 / \beta$ . Соответствующая область, отвечающая двум реверсам скорости, есть область  $G_4$ .

Наконец, в третьем типе движения, когда  $u_* \leq u \leq 1$ , т. е. второе звено совершает колебательное движение, движение первого звена будет также:



Фиг. 3

колебательным при  $u_* < u_2 < 1$  и монотонным прямовращательным ( $\varphi' > 0$ ) при  $u_2 > 1$ , что возможно лишь в области  $G_1$  (фиг. 5)  $\kappa > (\beta + 1)^2 / \beta$ . Обратное монотонное вращение первого звена ( $\varphi' < 0$ ) в этом случае невозможно, так как невозможно удовлетворить условию  $u_2 < u_*$ , означающему, согласно (2.6) и (3.2),  $\kappa > \alpha + \beta + 2(\alpha\beta)^{1/2}$  и противоречащему (2.5) и (1.7).

4. Общие свойства свободного движения двухзвенника. На основании проведенного анализа можно расклассифицировать возможные типы движений звеньев для  $\psi' > 0$ ,  $\psi' < 0$ ,  $\psi' \equiv 0$ :

$\varphi' > 0$	+	+	+
$\varphi' < 0$	+	-	-
$\varphi' \equiv 0$	+	+	+

Здесь знаком «плюс» отмечены осуществимые режимы движений двухзвенника, а знаком «минус» — неосуществимые. Видно, что только два типа движений первого звена оказываются неосуществимыми. Это обусловлено принятым допущением  $L \geq 0$ . Следует иметь в виду, что под колебательным здесь понимается немонотонное движение, которое может иметь и монотонную составляющую. В любом из указанных типов движение рассматриваемого составного тела, как правило, условно периодически, представляя собой наложение двух периодических движений I или II рода. Геометрические свойства такого движения зависят от величины приращения  $\Delta\varphi$  угла  $\varphi$  за время одного оборота (или одного колебания) второго звена. Это приращение может быть найдено интегрированием следующего соотношения, вытекающего из (2.1) и (2.2):

$$d\varphi/d\psi = \{[\kappa(\alpha\beta - u^2)/(\alpha + \beta + 2u - \kappa)]^{1/2} - (\beta + u)\}/(\alpha + \beta + 2u)$$

В результате приходим к интегралу

$$\Delta\varphi = \int \{(\beta + u)/[(\alpha + \beta + 2u)(1 - u^2)^{1/2}] - [\kappa(\alpha\beta - u^2)/[(1 - u^2)(\alpha + \beta + 2u - \kappa)]]^{1/2}\} du$$

пределы которого определяются, очевидно, ротационным или либрационным периодом движения второго звена. Ввиду громоздкости полученного интеграла рассмотрим подробнее частный случай  $\kappa = 0$  ( $L = 0$ ). В этом случае получаем непосредственную связь между углами  $\varphi$  и  $\psi$ , а именно:

$$\begin{aligned} \varphi &= \text{const} - \int [(\beta + \cos \psi)/(\alpha + \beta + 2 \cos \psi)] d\psi = & (4.1) \\ &= \text{const} - \psi/2 + (\alpha - \beta) [(\alpha + \beta)^2 - 4]^{-1/2} \arctg \{[(\alpha + \beta)^2 - 4]^{1/2} \text{tg } 1/2\psi / (\alpha + \beta + 2)\} \end{aligned}$$

Из (2.3) следует, что при  $\kappa = 0$  по углу  $\psi$  может быть только круговращение, которое вызывает, как следует из закона сохранения кинетического момента, обратное вращение первого звена, причем это вращение будет монотонным, если  $\beta > 1$ , и немонотонным, если  $\beta < 1$ .

Приращение  $\Delta\varphi$ , обусловленное полным положительным оборотом второго звена ( $\Delta\psi = 2\pi$ ), выразится, согласно (4.1), формулой

$$\Delta\varphi = \pi \{(\alpha - \beta) [(\alpha + \beta)^2 - 4]^{-1/2} - 1\} < 0$$

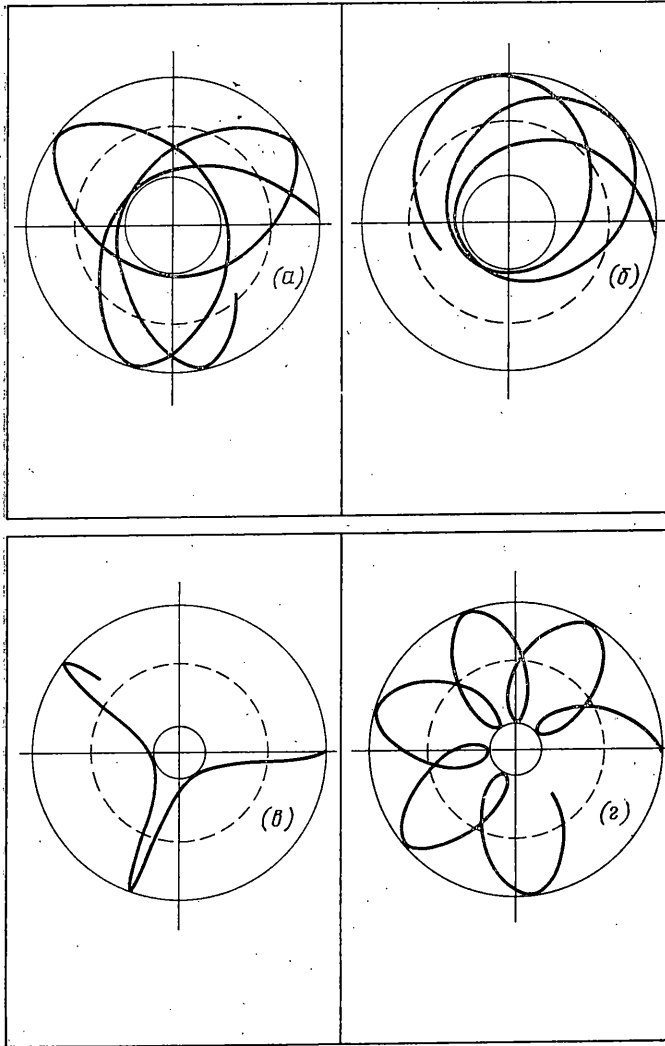
В общем случае, когда  $\kappa \neq 0$ , угол  $\varphi$  будет содержать вековую составляющую, линейно растущую со временем, как это можно видеть из оценки, полученной путем непосредственного интегрирования второго соотношения (1.6):

$$\int_0^\varphi (\alpha + \beta + 2 \cos \psi) d\varphi + \beta\psi + \sin \psi = \tau\kappa^{1/2} + \text{const}$$

Заменяя подынтегральное выражение его верхним значением, найдем

$$(\alpha + \beta + 2)\varphi \geq \tau\kappa^{1/2} - \beta\psi - \sin \psi + \text{const}$$

Общий характер траекторий, описываемых концевой точкой второго звена (например, центром или полюсом схвата), можно определить из геометрических соотношений, связывающих прямоугольные  $\xi$ ,  $\eta$  или полярные  $\theta$ ,  $\rho$  координаты с шарнирными углами  $\varphi$ ,  $\psi$ . Так, для схвата, рас-



Фиг. 4

положенного на расстоянии  $l$  от шарнира, имеем (фиг. 2):

$$\begin{aligned} \xi &= l_1 \cos \varphi + l \cos(\varphi + \psi), & \eta &= l_1 \sin \varphi + l \sin(\varphi + \psi) \\ \rho^2 &= l_1^2 + l^2 + 2l_1 l \cos \psi, & \rho' &= l_1 l \psi' \sin \psi / \rho \\ \theta' &= (\xi \eta' - \eta \xi') / \rho^2 = \varphi' + \psi' \varepsilon (\varepsilon + \cos \psi) / (1 + 2\varepsilon \cos \psi + \varepsilon^2) \\ & & \varepsilon &= l/l_1 \end{aligned}$$

Переходя к дифференцированию по  $\tau$  и подставляя сюда значения  $\varphi'$  и  $\psi'$  из (3.3) и (2.1), получим

$$\begin{aligned} \rho' &= -\varepsilon \sin \psi (\alpha + \beta + 2 \cos \psi - \kappa)^{1/2} [(\alpha \beta - \cos^2 \psi) (1 + 2\varepsilon \cos \psi + \varepsilon^2)]^{-1/2} \\ \theta' &= \kappa^{1/2} / (\alpha + \beta + 2 \cos \psi) + [\varepsilon (\varepsilon + \cos \psi) / (1 + 2\varepsilon \cos \psi + \varepsilon^2) + \\ &+ (\beta + \cos \psi) / (\alpha + \beta + 2 \cos \psi)] [(\alpha + \beta + 2 \cos \psi - \kappa) / (\alpha \beta - \cos^2 \psi)]^{1/2} \end{aligned}$$

Пользуясь этими выражениями, можно произвести численный расчет траекторий переноса, а также выявить их качественную структуру в зависимости от параметров задачи. Некоторые результаты такого расчета представлены на фиг. 4, где показаны траектории движения концевой точки двухзвенника для следующих значений его параметров:  $\alpha=2, \beta=4, \kappa=2, \varepsilon=2$ ;  $\alpha=2,4, \beta=0,5, \kappa=0,4, \varepsilon=2$ ;  $\alpha=2, \beta=4, \kappa=2, \varepsilon=0,7$ ;  $\alpha=2,4, \beta=0,5, \kappa=0,4, \varepsilon=0,7$ .

Видно, что характер траекторий существенно зависит от соотношения длин звеньев  $\varepsilon=l/l_1$ , а также от инерционности второго звена.